



سال سیزدهم، شماره ۴۲
تابستان ۱۳۹۲، صفحات ۲۰۹-۲۲۷

دانشگاه آزاد اسلامی واحد اهر
فصلنامه علمی-پژوهشی فضای جغرافیایی

حمید نوری^۱

علیرضا ایلدرومی^۲

بررسی کارایی آبنمود واحد لحظه‌ای ژئومورفیک و کلیماتیک در برآورد سیلاب‌ها در حوضه آبریز اکباتان همدان

تاریخ پذیرش مقاله: ۹۰/۱۰/۲۶

تاریخ دریافت مقاله: ۸۹/۰۷/۲۹

چکیده

پیش‌بینی واکنش هیدرولوژیک حوضه‌های آبخیز در قالب آبنمود خروجی حوضه، به بارش ورودی، از مهم ترین اهداف علم هیدرولوژی آب‌های سطحی در مدیریت وقایع فرین به ویژه طراحی و اجرای برنامه‌های سازه‌ای، مدیریت حوضه‌های آبخیز و توسعه پایدار منطقه‌ای است. از یک سو با توجه به هشدارهای هیات بین‌الدول تغییرات اقلیمی سازمان ملل متعدد در خصوص گرم شدن زمین و افزایش وقایع فرین مانند خشکسالی‌ها و سیلاب‌ها بخصوص در عرض‌های جغرافیایی متوسط کره زمین و از سوی دیگر نقش آمار و اطلاعات مناسب در دستیابی به تحلیل‌های واقعی تراز وقایع سیلابی و نیز وسعت و نیاز حوضه‌های فاقد آمار به ویژه در کشورهای توسعه نیافرته و در حال توسعه مانند ایران، این پژوهش به بررسی دقت و درجه کارایی مدل‌های آبنمود واحد لحظه‌ای ژئومورفوکلیماتولوژی^۳ و ژئومورفولوژی^۴ برای تعیین ابعاد آبنمود سیل یک رگبار باشد و مدت معین در حوضه

E-mail:hamidwatershed@yahoo.com
E-mail:alirezaildoromi@yahoo.com

۱- استادیار گروه مرتع و آبخیز دانشگاه ملایر
۲- دانشیار گروه مرتع و آبخیز دانشگاه ملایر

3- GCIUH
4- GIUH

آبریز سد اکباتان همدان پرداخته و آن‌ها را باروش‌های ناش، روسو و SCS مقایسه نموده و موثرترین و کارآمدترین مدل را معرفی کرده است. به منظور افزایش دقت و سرعت در اجرای کار از سیستم اطلاعات جغرافیایی و برای بررسی کارایی و دقت مدل‌ها از شاخص‌های آماری "میانگین توان دوم خطأ" و "میانگین خطای نسبی" استفاده شده است. نتایج نشان می‌دهد که روش ژئومورفوکلیماتولوژی نسبت به روش‌های ژئومورفولوژی، ناش، روسو و SCS به ترتیب ۱۰۹/۱۲، ۱۳۷/۹۹، ۱۶۸/۵۶، ۱۹۵/۲۶ درصد و روش ژئومورفولوژی نسبت به روش‌های ناش، روسو و SCS به ترتیب ۱۸۶/۵۵، ۱۵۶/۴۳، ۱۲۱/۷۷ درصد و روش روسو نسبت به روش‌های ناش و SCS به ترتیب ۱۲۲/۲۴ درصد مناسب تر و کارآمدتر می‌باشند. لذا می‌توان در این حوضه، روش ژئومورفوکلیماتولوژی را که مبتنی بر داده‌های ژئومورفولوژی و اقلیم‌شناسی است برتر از سایر روش‌ها معرفی نمود.

کلید واژه‌ها: آبنمود واحد لحظه‌ای، مدل ناش، مدل روسو، مدل SCS، حوضه آبخیز اکباتان.

مقدمه

ارائه مدل بارش و رواناب در هر حوضه آبخیز گام مهمی در شناخت عکس العملهای هیدرولوژیک آن حوضه محسوب می‌شود که بدون آمار و اطلاعات صحیح و مناسب، امری دشوار و پیچیده است. تئوری‌های علمی تشریح کننده پدیده‌های هیدرولوژیک در حوضه‌های آبخیز به دلیل ناهمگنی، پیچیدگی ارتباط و تعدد مولفه‌های تاثیرگذار بر پدیده‌ها، هرگز قادر به توصیف کامل آنها در مقیاس وسیع نیستند. با توجه به این موضوع می‌توان از خروجی مدل‌های طراحی شده منطبق با تئوری‌های علمی که پس از تجزیه و تحلیل مولفه‌های تاثیرگذار حاصل شده‌اند، درصد کارایی مدل را نسبت به نمونه‌های ثبت شده تعیین کرد. مدل‌های مختلف از جمله، مدل‌های جعبه سیاه و مدل‌های مفهومی به دلایل مختلف به ویژه، تکیه بر آنالیز داده‌های بارش-رواناب، در حوضه‌هایی که فاقد داده‌های مورد نیاز باشند قابل استفاده نیستند. در این نوع حوضه‌ها معمولاً از روش‌های تجربی و یا از مشخصات فیزیکی و ثابت حوضه‌ها مانند ویژگی‌های ژئومورفولوژی و اقلیم‌شناسی استفاده می‌شود. در نتیجه، هر چه این خصوصیات بهتر شناخته شوند، پیش‌بینی عملکرد حوضه دقیق تر خواهد بود. تئوری آبنمود واحد لحظه‌ای ژئومورفولوژیک و ژئومورفوکلیماتیک به عنوان مدل‌های پیش‌بینی کننده‌ی عکس العمل‌های هیدرولوژیک حوضه آبخیز به ازای بارش ورودی به آن، در گستره این اهمیت واقع می‌شوند.

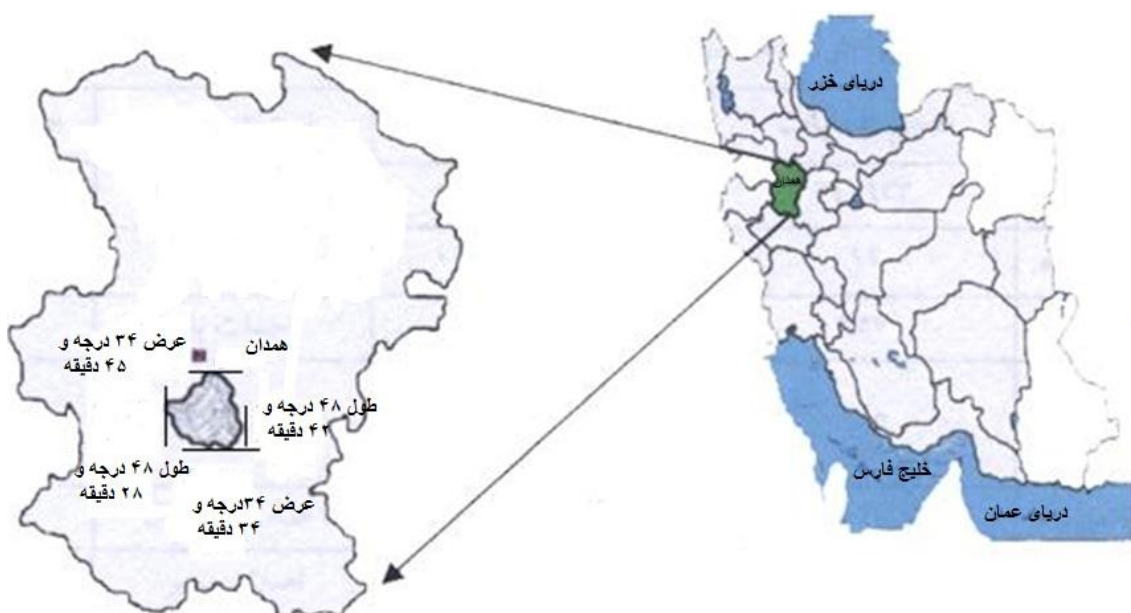
تئوری آبنمود واحد لحظه‌ای ژئومورفولوژیک توسط رودریگوئز-ایتورب و همکاران (Rodriguez-Iturb et al., 1979:1435) نشان داد که عکس العمل هیدرولوژیک حوضه آبخیز تابعی از پارامترهای ثابت ژئومورفولوژیک و پارامتر دینامیکی سرعت جریان است. والدرز و همکاران (Valders et al., 1979:1421) و نیز گوپتا و همکاران (Gupta et al., 1980:855) آبنمود واحد لحظه‌ای تعدادی از حوضه‌های آبخیز را استخراج و با آبنمود واحد لحظه‌ای ژئومورفولوژیک آن‌ها مورد مقایسه قرار دادند که نتایج کار آن‌ها اغلب رضایت‌بخش بود. رودریگوئز-ایتورب و همکاران تئوری آبنمود واحد لحظه‌ای ژئومورفولوژیک را برای دیهای حداکثر سیلان با دوره بازگشت مختلف مورد تجزیه و تحلیل قرار دادند و نتایج خوبی به دست آوردند (Rodriguez-Iturb et al., 1982:884). دیاز-گراندوز و همکاران (۱۹۸۴:۹۹۵) تئوری آبنمود واحد لحظه‌ای ژئومورفولوژیک را مبتنی بر هیدرولیک جریان، توسعه و بسط دادند (Diaz-Grandos et al., 1984:995) و آلام (Allam, 1990:71) آن رادر برخی حوضه‌ها، مناسب تشخیص داد. سورمن (Sorman, 1995:243) از مدل آبنمود واحد لحظه‌ای ژئومورفوکلیماتیک برای برآورد حجم، دیهی و زمان اوج آبنمود خروجی حوضه‌ها استفاده کرد. غیاشی (۱۳۷۵:۱۶۲) نشان داد که روش‌های آبنمود واحد لحظه‌ای ژئومورفولوژیک و روسو در مقایسه با روش‌های آبنمود واحد مصنوعی اشنایدر و مثلثی کارایی بیشتری دارند. عرفانیان (۱۳۷۷:۲۰۱) در حوضه آبخیز در چرین نشان داد که درصد کارایی روش ژئومورفولوژیک نسبت به سایر روش‌ها بالاتر بوده است. حشمت پور (۱۳۸۱:۲۵۲) نیز در حوضه آبخیز کسیلیان در استان مازندران نشان دادند که روش آبنمود واحد لحظه‌ای ژئومورفولوژیک نسبت به سایر روش‌ها از کارایی بیشتری برخوردار است.

نظر به این که حوضه‌های آبخیز غرب کشور با اقلیمی نیمه خشک، پوشش گیاهی و توپوگرافی ویژه، معمولاً دروازه ورود سامانه‌های سینوپتیکی عبوری از ایران هستند، همواره در معرض وقوع سیلانهای فراوان می‌باشند. با توجه به کمبود آمار و اطلاعات مورد نیاز بارش-رواناب در تحلیل وقایع سیلانی در این منطقه، بدیهی است، انتظار ساخت ایستگاه‌ها و جمع آوری آمار و داده‌های مناسب در زمانی کوتاه، برای تحلیل سیلانها منطقی به نظر نمی‌رسد. همچنین شواهد و گزارشات مربوط به تغییرات اقلیمی در یک قرن اخیر، لزوم آمادگیهای مدیریتی لازم و افزایش سرعت و دقت در محاسبات و تحلیل‌ها را در مقابله با احتمال افزایش فراوانی وقوع سیلانها تاکید می‌نماید. مطالعات گذشته در ایران و جهان درستی کارایی آبنمودهای واحد لحظه‌ای ژئومورفولوژیک و ژئومورفوکلیماتیک را در حوضه‌های آبریز مناطق مختلف بررسی کرده است. در تحقیق حاضر، سعی شده است تا دقت، صحت و درجه

اطمینان تئوری‌های آبنمود واحد لحظه‌ای ژئومورفولوژیک و ژئومورفوکلیماتیک در مقایسه با روش‌های دیگر، در تعیین شکل و ابعاد آبنمود رواناب خروجی از یک رگبار باشد و مدت معین در حوضه آبریز سد اکباتان همدان تعیین گردد.

معرفی منطقه مورد مطالعه

حوضه آبریز سد اکباتان در جنوب شهرستان همدان بین "۳۴ درجه و ۳۴ دقیقه" و "۳۴ درجه و ۴۵ دقیقه" عرض شمالی و "۴۸ درجه و ۴۲ دقیقه" و "۴۸ درجه و ۲۸ دقیقه" طول شرقی قرار دارد. این حوضه یکی از زیر حوضه‌های رودخانه قره چای می‌باشد که کوه الوند در جنوب غربی آن واقع شده است. متوسط بارندگی سالیانه منطقه $312/9$ میلیمتر و از نظر آب و هوایی منطقه نیمه خشک و سرد است. از نظر زمین‌شناسی و لیتولوژی به علت قرارگرفتن در مجاورت آتشفسان الوند متأثر از برخی فرایندهای دگرگونی محلی شده است. از دوران اول زمین‌شناسی سازندی در این حوضه دیده نمی‌شود. دوران دوم هم با یک سری سنگ‌های رسوبی که در نزدیکی سد وجود دارد مشخص می‌شود. دوران سوم با نفوذ توده‌های گرانیتی و میکروپیگماتیتی شروع می‌شود. پوشش آبرفت‌های دوران چهارم در این منطقه قابل ملاحظه بوده و گاهی ارتفاع آن به چندین متر می‌رسد.



شکل شماره ۱- نقشه موقعیت جغرافیایی حوضه آبریز سد اکباتان همدان

مواد و روش‌ها

با توجه به اینکه سد اکباتان در محل برخورد دو رودخانه آبشینه و ابرو قرار دارد لذا مجموع دبی‌های هردو رود خانه برای سد در نظر گرفته می‌شود. در این مطالعه از آمار ایستگاه هیدرومتری یلغان واقع در "۴۴ دقیقه، ۳۴ درجه عرض شمالی و "۳۶/۵ دقیقه، ۴۸ درجه" طول شرقی در ارتفاع ۱۹۶۰ متری و ایستگاه هیدرومتری شاخه دوم سد اکباتان به نام ابرو در "۴۴ دقیقه، ۳۴ درجه" عرض شمالی و "۳۶ دقیقه، ۴۸ درجه" طول شرقی در ارتفاع ۱۹۵۰ متری و ایستگاه سینوپتیک سد اکباتان استفاده شده است.

در ابتدا با تهیه نقشه‌های توپوگرافی منطقه بمقیاس ۱:۲۵۰۰۰ و تهیه نرم افزارهای مورد نیاز مانند IDRISI، ILWIS، ARC/INFO، نقشه‌ها و جداول مورد نیاز در فیزیوگرافی حوضه مانند نقشه‌های DEM، شبیه، جهت، هیپسومتری و آبراهه‌ها، ترسیم و رتبه بنده آبراهه‌ها و نسبت‌های هورتونی تعیین گردید. در این مرحله، بازدید‌های صحرایی برای تایید نقشه‌ها و شناخت دقیق منطقه انجام گرفت. کمیت‌های مورفومتری محاسبه شده در جداول ۱ و ۲ ارائه شده است.

سپس با جمع آوری داده‌ها و اطلاعات بارش و رواناب مورد نیاز، ۸ واقعه بارش – رواناب که دارای تطابق زمانی مناسب بودند(بین سال‌های ۱۳۵۱-۱۳۷۸) انتخاب شدند. در ادامه، هایتروگراف بارش مازاد به روش SCS و آبنمود مشاهده‌ای پس از کسر دبی پایه ترسیم گردید. در مرحله بعد، روابط دبی – سرعت، رابطه دبی – سطح مقطع تعیین و پارامتر موج جنبشی محاسبه شد.

سپس آبنمود واحد لحظه‌ای، آبنمود واحد ژئومورفولوژی، ژئومورفوکلیماتولوژی، ناش، روسو و SCS و آبنمود خروجی یک ساعته حوضه استخراج گردیدند، آبنمود شاخص حوضه با استفاده از آبنمود واحد طبیعی تعیین و آبنمود واحد یک ساعته SCS با توجه به زمان آبنمود واحد شاخص، برآورد شد و آبنمودهای خروجی برای وقایع انتخابی استخراج گردید. در انتهای، آبنمودهای محاسبه‌ای و مشاهده‌ای مقایسه و درصد کارایی مدل‌های مورد استفاده در این تحقیق تعیین گردید.

جدول ۱- کمیت‌های مورفومتری حوضه کباتان همدان

طول آبراهه ریزه	طول آبراهه اصلی	میانگین وزنی شبیرا حوضه (نرصد)	فرآنم زنگنه	ضریب شکل شبیرم	ضریب گردی هزار	ضریب گروایپرس	ضریب نشکل هورتون	ضریب میخانه (نرصد)	مساحت آکپلورتر	نوع کمیت
LΩ	L	S	Dd	Re	Rc	Cc	Ff	P	A	علافت
۱۳/۳۲	۲۶/۶	۳۰	۱/۷۷	۰/۹۴۴	۰/۷۱۹	۱/۱۷	۰/۷	۶۷/۲	۲۲۱/۵۵	مقدار

عرضه مسطر معدل آکپلورتر	طول مستطیل معدل آکپلورتر	میانگین وزنی ارتفاع	طول حوضه آکپلورتر	سیستم مساحت هورتون	سیستم طول هورتون	سیستم اشتاب هورتون	میانگین وزنی شبیرا آبراهه اصلی (نرصد)	حداکثر ارتفاع (متر)	حداکثر ارتفاع (متر)	نامه خودجی از مرکز مقابل (آکپلورتر)	نوع کمیت
Er	Lx	H	LW	RA	RL	RB	Sw	HM	Hm	Lca	علافت
۱۱/۰۵	۲۰/۰۵	۲۷۰۲	۱۷۷۸	۵/۴۳	۲/۱۱	۴/۱۰	۴/۰۶	۳۰۸۴	۱۴۲۰	۱۱/۱	مقدار

جدول ۲- ضریب دوشاخه شدن هورتون در حوضه سد اکباتان همدان

درجات آبراهه‌ها	۱ به ۵	۲ به ۴	۳ به ۴	۴ به ۵

محاسبه آبنمود واحد لحظه‌ای ژئومورفولوژی

هیدروگراف واحد لحظه‌ای ژئومورفولوژیک به عنوان تابع چگالی احتمال زمان انتقالی که یک قطره آب طی می‌کند تا از هر نقطه از حوضه آبخیز به خروجی برسد را بیان می‌کند. پارامترهای ژئومورفولوژیکی مورد نیاز برای مدل‌های آبنمود واحد لحظه‌ای ژئومورفولوژیک شامل مساحت حوضه آبخیز (A)، رتبه بندی حوضه (Ω)، تعداد آبراهه‌های هر رتبه i که به رتبه j می‌ریزد (Ni)، متوسط طول آبراهه‌های رتبه i (\bar{Li})، متوسط مساحت حوضه‌های مربوط به هر رتبه (Ai) و شبیت متوسط آبراهه‌های موجود در هر رتبه (Si) می‌باشد.

با توجه به بررسی های انجام شده می توان تابع واکنش هیدرولوژیک حوضه آبخیز سد اکباتان را که با توجه به رتبه بندی استراهلر (Strahlers, 1957)، رتبه ۵ دارد، به شکل زیر می توان نشان داد:

$$GIUH_{(t)} = \theta_1(o) \frac{d\phi_{16}(t)}{dt} + \theta_2(o) \frac{d\phi_{26}(t)}{dt} + \theta_3(o) \frac{d\phi_{36}(t)}{dt} + \theta_4(o) \frac{d\phi_{46}(t)}{dt} \quad (1)$$

برای محاسبه مقدار تابع آبنمود واحد لحظه ای ژئومورفولوژیک (بر ساعت) در فواصل زمانی t ساعته لازم است تا با استفاده از روابط کاربردی موجود مقادیر ماتریس احتمال فاصله زمانی $[\phi_{(t)}]$ ، احتمال اولیه $[\theta i(o)]$ ، احتمال انتقال $[p_{ij}]$ ، میانگین اتصالات درونی $[E]$ و میانگین زمان انتظار آبراهه های رتبه های ۵ و ۴ و ۳ و ۲ و ۱ در حوضه آبخیز مورد مطالعه مشخص شوند، که در آن:

عبارت است از مساحتی از حوضه آبریز که مستقیماً به آبراهه های رتبه (i) زهکشی می شوند به مساحت کل حوضه آبریز که

P_{ij} عبارت است از تعداد آبراهه های رتبه (i) که به آبراهه رتبه (j) می ریزند به تعداد کل آبراهه های رتبه (i) که

$$E(\gamma, \omega, \Omega) \omega = N \omega \prod_{a=2}^{\omega} \frac{Na - 1^{-1}}{2N_{a-1}} \quad (2)$$

$$\lambda_1 = \frac{V}{t_1}, \lambda_2 = \lambda_1 R_L^{-1}, \lambda_3 = \lambda_1 R_L^{-2}, \lambda_4 = \lambda_1 R L^{-3} \quad (3)$$

که در این روابط V سرعت اوج جریان (متر بر ثانیه)، 11 میانگین طول آبراهه های رتبه یک (متر)، $R L$ نسبت طول هورتون و λ_i ، عکس میانگین زمان انتظار آبراهه رتبه (i) (بر ساعت) است. در روش آبنمود واحد لحظه ای ژئومورفولوژیک دبی و زمان اوج برای حوضه سد اکباتان از روابط زیر محاسبه شده است:

$$qp = \frac{1}{13} RL^{4/3-1} V (L\Omega)^{4/3} \quad (4)$$

$$tp = \frac{1}{13} L\Omega (RB)^{4/5} (RA)^{-4/5} (RL)^{-4/3} (V)^{-1} \quad (5)$$

$$qp.tb = r \quad (6)$$

که در روابط فوق، qp دبی اوج جریان (بر ساعت)، tp زمان اوج (ساعت)، $L\Omega$ طول آبراهه بالاترین رتبه حوضه (کیلومتر)، RB نسبت انشعاب، RA نسبت مساحت، RL نسبت طول، V سرعت اوج جریان (متر بر ثانیه) و tb زمان پایه آبنمود واحد لحظه‌ای (ساعت) است. مقادیر محاسباتی مربوط به میانگین تعداد اتصالات درونی، احتمال اولیه و احتمال انتقال در حوضه آبخیز سد اکباتان در جدول ۳ آمده است.

آبنمود واحد لحظه‌ای ژئومورفوکلیماتولوژی

رودریگوئز ایتورب و همکاران با قبول پایه‌های اصلی آبنمود واحد لحظه‌ای ژئومورفوکلیماتولوژیک و نتایج مطالعات آنها در مورد سرعت جریان مبنی بر این که سرعت اوج جریان تابعی از شدت بارش مازاد و پارامتر موج جنبشی است، تئوری آبنمود واحد لحظه‌ای ژئومورفوکلیماتیک را ارائه نمودند (Rodriguez-Iturb). و برای محاسبه دبی و زمان اوج آبنمود واحد لحظه‌ای ژئومورفوکلیماتیک در حوضه آبریز سد اکباتان از روابط زیر استفاده شده است.

$$(7) \quad t_p = 0/2587(\Pi)^{0/4}$$

$$(8) \quad q_p = 1/971(\Pi)^{0/4}$$

$$(9) \quad \Pi_i = \frac{(L\Omega)^{2/5}}{i_r A_\Omega R_L (a\Omega)^{1/5}}$$

$$(10) \quad qp, tp = 2$$

محاسبه دبی و زمان اوج آبنمود رواناب خروجی ناشی از یک رگبار از طریق روابط زیر محاسبه شده‌اند.

$$(11) \quad Q_p = 5/475 \left(\frac{A\Omega i n r}{(\Pi_i)^{0/4}} \right) \left(1 - \frac{0/4927 t r}{(\Pi i)^{0/4}} \right)$$

$$(12) \quad T_p = 0/2587(\Pi i)^{0/4} + 0/75 t r$$

آبنمود واحد لحظه‌ای ناش

Nash (1957, 118) حوضه آبخیز را به عنوان یک سیستم با n منبع خطی سری با مشخصات ذخیره S و ثابت ذخیره k معرفی کرد. او آبنمود واحد لحظه‌ای را بر اساس روند یابی لحظه‌ای جریان ورودی در مخازن خطی فرضی به صورت زیر ارائه کرد:

$$h(t) = \frac{1}{KT_{(n)}} \left(\frac{t}{k} \right)^{n-1} (e^{-\frac{t}{k}} - 1) \quad (13)$$

پارامترهای n , K در تابع مذکور بر اساس گشتاور اول و دوم بارش اضافی و رواناب خروجی محاسبه می‌شوند:

$$MDRH_1 - MERH_1 = nK \quad (14)$$

$$MDRH_2 - MERH_2 = n(n+1)K^2 + Nk(merh_1) \quad (15)$$

$MDRH_1$ = گشتاور اول رواناب خروجی

$MERH_1$ = گشتاور دوم رواناب خروجی

$MERH_1$ = گشتاور اول بارش مازاد

$MERH_2$ = گشتاور دوم بارش مازاد

در روابط فوق، با تعیین ثابت ذخیره K (ساعت) و پارامتر n ، می‌توانیم مقدار تابع آبنمود واحد لحظه‌ای ناش را در زمان t (ساعت) بر حسب عکس زمان (بر ساعت) برآورد کنیم.

آبنمود واحد لحظه‌ای روسو (گاما)

Rosso (1984, 914) پارامترهای مدل ناش را از طریق برآش مقادیر دبی و زمان اوج آبنمود واحد لحظه‌ای ژئومورفولوژیک با توزیع گاما به صورت تابعی از نسبت‌های هورتون معرفی و تابع آبنمود واحد لحظه‌ای گاما را به صورت زیر ارائه کرد:

$$h_{(t)} = \left(\frac{t}{k} \right)^{a-1} \left(\frac{(e)^{\frac{-1}{k}}}{KT_{(a)}} \right) \quad (16)$$

$$a = 3.29 \left(\frac{R_B}{R_A} \right)^{0.78} R_L^{0.07} \quad (17)$$

$$K = 0.7 \left(\frac{R_A}{R_B R_L} \right)^{0.48} L_\Omega(V)^{-1} \quad (18)$$

که در این رابطه $h_{(t)}$ مولفه آبنمود واحد لحظه‌ای گاما (بر ساعت)، a پارامتر مقیاس (ساعت)، R_A نسبت مساحت، R_B نسبت انشعاب، R_L نسبت طول، V پارامتر دینامیکی سرعت اوج جریان (متر بر ثانیه) و $L\Omega$ طول آبراهه بالاترین رتبه حوضه است.

$$\Gamma(a+1) = a\Gamma(a) \quad (19)$$

جدول ۴ مقدار تابع گاما برای نسبت‌های هورتونی در حوضه آبریز سد اکباتان را نشان می‌دهد.

نظر به این که دبی و زمان اوج آبنمود واحد لحظه‌ای تابعی از سرعت جریان است و پارامتر دینامیکی سرعت جریان در تنوری‌های آبنمود واحد لحظه‌ای ژئومورفولوژیک و ژئومورفوکلیماتیک و روسو (گاما) نقش اساسی دارد، از این رو برآورد دقیق سرعت جریان ضروری است. برای برآورد سرعت اوج جریان در رگبارهای انتخابی، از روش استدلالی ارائه شده توسط Rodriguez-Iturbide و همکاران (1982، 884) و فرمول توانی به صورت زیر استفاده شده است:

$$V\Omega = (a\Omega^{1/ms}) (Q)^{(m-1)/ms} \quad ms=5/3 \quad (20)$$

$$V_\Omega = (a_\Omega)^{0.6} (A_\Omega i_r)^{0.4} \quad (21)$$

در روابط بالا، V_Ω سرعت اوج جریان (متر بر ثانیه)، Q دبی اوج جریان سیلان (متر مکعب بر ثانیه)، A_Ω مساحت حوضه (کیلومتر مربع)، i_r شدت بارش مازاد (متر بر ثانیه)، a_Ω پارامتر موج جنبشی ($S, (1/S\sqrt[3]{m})$ شبیه آبراهه اصلی (متر بر کیلومتر)، n متوسط ضریب زبری مانینگ و P محیط خیس شده (متر) است. n و m از طریق رابطه همبستگی بین دبی و سرعت جریان سیلان و پارامتر موج جنبشی نیز با ایجاد رابطه بین دبی جریان و سطح مقطع خیس شده به دست می‌آید.

این روابط و ضرایب تبیین آنها در حوضه مورد مطالعه به صورت زیر تعیین شده است:

$$\begin{aligned} V &= 1.17 Q^{0.37} & R^2 &= 0.9672 \\ Q &= 1.17 (A)^{0.15} & R^2 &= 0.9701 \end{aligned} \quad (22)$$

نتایج مقادیر سرعت اوج محاسبه شده برای سیل های انتخابی با استفاده از رابطه استدلالی و توانی (بر حسب متر بر ثانیه) در حوضه سد اکباتان همدان در جدول ۵ ارائه شده است.

ب- استخراج آبنمود واحد از آبنمود واحد لحظه‌ای

در این بررسی آبنمود واحد لحظه‌ای با استفاده از روش های مختلف (ژئومورفولوژیک، ژئومورفوکلیماتیک، ناش و روسو) بر حسب عکس زمان (بر ساعت) به ازای یک واحد بارش مازاد برای رگبارهای انتخابی محاسبه شد. حال چنانچه هدف، استخراج آبنمود واحد یک ساعته به ازای P_e واحد بارش اضافی باشد، باید آبنمود واحد لحظه‌ای استخراجی از مدل های مورد تحقیق را که بر حسب عکس زمان (بر ساعت) برآورد گردیده اند بر حسب متر مکعب بر ثانیه به دست آوریم:

$$u_{(t)} = (IUH_{(t)})(p_e)(A\Omega) \quad (24)$$

در این رابطه، $IUH_{(t)}$ ابعاد آبنمود واحد لحظه‌ای در زمان t بر حسب عکس زمان (بر ساعت) در روش های مختلف، $A\Omega$ مساحت حوضه آبخیز بر حسب مترمربع و p_e بارش مازاد بر حسب متر است.

ج- آبنمود واحد SCS

یکی از روش های تعیین آبنمود واحد حوضه های فاقد آمار، استفاده از آبنمود واحد بدون بعد SCS است، که با استفاده از آبنمودهای واحد تعداد بسیار زیادی از حوضه های آبخیز دارای آمار به دست می آید.

با توجه به زمان اوج هیدورگراف شاخص حوضه (حشت پور، ۱۳۸۱:۲۵۲) و همچنین زمان تمرکز به دست آمده از روش سرعت متوسط SCS برای حوضه (مقدم نیا، ۱۳۷۱:۱۹۶) مقدار $\Delta D = 0/9$ ساعته به دست آمد. همچنین با استفاده از جدول بدون بعد SCS، آبنمود واحد $0/9$ ساعته حوضه محاسبه شد. آبنمود واحد $0/9$ ساعته به 4 ساعته و سپس آبنمود واحد یک ساعته $0/9$ واحد ساعته به 4 ساعت تبدیل و سرانجام آبنمود واحد یک ساعته به روش SCS استخراج شد.

د- استخراج آبنمود رواناب خروجی برای وقایع انتخابی

در این تحقیق، برای محاسبه ابعاد آبنمود رواناب خروجی وقایع انتخابی در روش های مختلف، به دلیل این که توزیع زمانی بارش در هایتروگراف هر رگبار یکنواخت نیست و در فواصل زمانی مختلف، بارش مازاد مقادیر متفاوتی را به

خود اختصاص می دهد، لذا از روش ماتریسی و حل همزمان معادلات استفاده شد. شکل کلی معادله به صورت زیر است:

$$[P]_{m,n} [U]_n = [Q]_m \quad (25)$$

۵- مقایسه آبنمودهای محاسبه‌ای و مشاهده‌ای

به منظور بررسی میزان کارایی آبنمودهایی استخراجی به روش‌های ژئومورفولوژیک، ژئومورفوکلیماتیک، ناش، روسو و SCS لازم است تا مشخصات برجسته آبنمودهای محاسبه‌ای و مشاهده‌ای از نظر ابعاد، خصوصاً دبی و زمان با همدیگر مقایسه و درصد اختلاف آنها مشخص شود و از آن به عنوان معیار مناسبی جهت رسیدن به برتری مدل‌ها نسبت به یکدیگر استفاده گردد. برای این منظور، از دو شاخص سنجش میانگین خطای نسبی (MRE) و میانگین توان دوم خطای (MSE) برای ارزیابی میزان کارایی مدل‌های به کارگرفته شده، استفاده گردید (عرفانیان، ۱۳۷۷: ۲۰۱).

شاخص آماری MRE درصد خطای مقدار یک بعد برآورده را حول مقدار متناظر همان بعد به صورت مشاهده‌ای و ثبت شده نشان می‌دهد و در شاخص MSE مقایسه بر مبنای میزان اریبی و نحوه پراکندگی ابعاد برآورده هیدورگراف حول ابعاد مشاهده‌ای انجام می‌گیرد. با توجه به این که باید ابعاد هیدورگراف مشاهده‌ای و محاسبه‌ای در ساعت متناظر مقایسه شوند، از نظر تئوری بر حسب میزان کارایی مدل، ابعاد متناظر باید بر هم منطبق شوند، ولی در عمل کمی اریبی مشاهده شده که لازم است درصد آن تعیین گردد. به همین دلیل از شاخص‌های MRE و MSE که کارایی سنجش این صفت را دارند، استفاده شده است. بدیهی است هر چه داده‌های به دست آمده از مدل‌های برآورد کننده به داده‌های مشاهده‌ای نزدیک‌تر باشد، نشان دهنده دقیق، اعتبار و کارایی مدل است:

۱- شاخص میانگین خطای نسبی (MIRE)

این شاخص آماری به صورت زیر محاسبه می‌شود (Nash, 1975):

$$MRE = 1/n \sum_{i=1}^n RE_i$$

$$\% RE_{TP} = \left| \frac{Q_{PO} - Q_{OC}}{Q_{PO}} \right| \times 100$$

$$\% RE_{QP} = \left| \frac{T_{PO} - T_{PC}}{T_{PO}} \right| \times 100$$

که در فرمول های بالا، RE_i خطای نسبی در هر برآورده، n تعداد برآورده، $REQP\%$ درصد خطای نسبی در برآورده دی اوج، $RET_P\%$ درصد خطای نسبی در برآورده زمان اوج، QPC دی اوج آبنمود محاسبه ای، TPO زمان اوج آبنمود مشاهده ای و TPC زمان اوج آبنمود محاسبه ای است (جدول ۶). شاخص میانگین خطای نسبی، شاخصی بدون بعد است که درصد خطای دی اوج و زمان اوج برآورده را حول دی اوج مشاهده ای نشان می دهد.

۲- میانگین توان دوم خطا (MSE)

میانگین توان دوم خطا به صورت زیر تعریف می شود:

$$MSE_1 / n \sum_{i=1}^n SE_i$$

$$SE_i = (Q_{oi} - Q_{ci})^2$$

که در این رابطه ها، SE_i مجموع مربع خطای بین ابعاد آبنمود مشاهده ای و محاسبه ای در هر فاصله زمان، n تعداد برآورده، Qoi ابعاد آبنمود مشاهده ای و QCi ابعاد آبنمود محاسبه ای است. در شاخص آماری میانگین توان دوم خطا، مقایسه بر مبنای میزان اریبی و واریانس ابعاد برآورده حول ابعاد مشاهده ای انجام می گیرد، به طوری که در مقایسه دو مدل با واریانس مساوی، مدلی که اریبی کمتر دارد و در دو مدل نااریب آنکه واریانس کمتری دارد، ارجح تر است (جدول ۷).

و- تعیین درصد کارایی نسبی مدل های مورد تحقیق

به منظور تعیین درصد برتری مدل های مورد تحقیق نیست به هم در برآورده ابعاد آبنمود جریان خروجی در حوضه مورد مطالعه طبق تعریف از میزان میانگین توان دوم خطای هر مدل نسبت به مدل دیگر بر اساس رابطه زیر استفاده شده است (جدول ۸):

$$(1) *100 = درصد کارایی برآورده کننده (MSE2 / MSE1)$$

$$(2) نسبت به برآورده کننده$$

بحث و نتایج

محاسبات موجود در جداول ۳، ۴، و ۵ و نتایج حاصل از مقادیر میانگین خطای نسبی دبی اوج و زمان اوج و نیز درصد اختلاف آنها با مقادیر مشاهده‌ای (جدول ۶)، مقادیر میانگین توان دوم خطای در روش‌های مختلف برای سیل‌های مختلف (جدول ۷) و کارایی نسبی مدل‌های مورد تحقیق در برآوردهای آبنمود سیلاب‌های حوضه سد اکباتان همدان (جدول ۸) نشان می‌دهند که روش ژئومورفوکلیماتولوژی نسبت به روش‌های ژئومورفوولوژی، ناش، روسو و SCS به ترتیب ۸۹/۹۱، ۳۶۱/۱۵، ۹۶/۹۹ درصد و روش ژئومورفوولوژی نسبت به روش‌های ناش، روسو و SCS ۲۰۹/۱۸۴ و ۳۲۰/۵۰ درصد و روش روسو نسبت به روش‌های ناش و SCS به ترتیب ۶۸/۱۴ و ۲۸۱/۵۱ درصد مناسب‌تر و کارامدتر می‌باشند. لذا می‌توان در این حوضه، روش ژئومورفوکلیماتولوژی را که مبتنی بر داده‌های ژئومورفوولوژی و اقلیم شناسی است برتر از سایر روش‌ها معرفی نمود. به عبارت دیگر پارامترهای اقلیمی و ژئومورفوولوژی مورد استفاده در مدل‌های برآوردهای آبنمود جریان خروجی حوضه، مقادیر کمی تاثیرگذاری تلقی می‌شوند. دقت‌های به دست آمده در محاسبه ابعاد آبنمود برآوردهای، برتری این نوع مدل‌ها را نسبت به روش‌های تجربی مطرح می‌کند. نتایج حاصل با نتایج پژوهش Valders و همکاران (۱۳۳۴: ۱۴۲۱-۱۹۷۹)، Gupta و همکاران (۱۹۸۰: ۸۵۵-۸۶۲)، غیاثی (۱۳۷۵: ۱۶۲)، عرفانیان (۱۳۷۷: ۲۰۱) و حشمت‌پور (۱۳۸۱: ۲۵۲) مطابقت دارد و نشانگر کارایی مدل آبنمود واحد لحظه‌ای ژئومورفوکلیماتولوژی و ژئومورفوولوژی است و با نتایج تحقیق Rodriguez-Iturb و همکاران (۱۹۷۹: ۱۴۳۵-۱۴۴۴)، sorman (۱۹۹۵: ۲۸۷-۲۴۳) و قهرمان (۱۳۷۴: ۵۶-۲۸) دقیقاً همخوانی دارد و بیانگر کارایی مدل آبنمود واحد لحظه‌ای ژئومورفوکلیماتولوژی و برتری آن بر همه مدل‌های دیگر حتی مدل ژئومورفوولوژی است. به نظر می‌رسد پیدا کردن پارامترها و شاخص‌های کمی جدید ژئومورفوولوژی و اقلیمی مسیر تازه‌ای را در برآورد دقیق‌تر آبنمود سیلاب‌ها باز خواهد کرد و با نمایش عکس العمل‌های هیدرولوژیکی واقعی حوضه‌های آبخیز، گام موثرتری را در ایجاد آمادگی‌های لازم برای مقابله با وقایع فرین ناشی از تغییرات اقلیمی در آینده و درنتیجه مدیریت مناطق آسیب‌پذیر و در معرض خطر به ویژه در مناطق فاقد آمار خواهد برداشت.

جدول ۳- مقادیر میانگین تعداد اتصالات درونی، احتمال اولیه و احتمال انتقال در حوضه آبخیز سد اکباتان همدان

رتبه آبراهه	تعداد آبراهه	مساحت زهکشی	احتمال اولیه	میانگین اتصالات درونی	احتمال انتقال
۱	۲۷۸	۱۰۹/۵۲	۰/۴۹۴۳	-	$p_{12} = ۰/۷۵۱$ $p_{13} = ۰/۱۳۵p$ $p_{14} = ۰/۱۰۱ p$ $p_{15} = ۰/۰ ۱۳ p$
۲	۵۸	۵۵/۱۱	۰/۲۴۸۷	۵۳/۲۳۶	$p_{23} = ۰/۶۱۱ p$ $p_{24} = ۰/۲۲۰ p$ $p_{25} = ۰/۱۶۸ p$
۳	۱۳	۲۸/۲۹	۰/۱۲۷۷	۷/۴۳۱	$p_{34} = ۰/۷۱۸ p$ $p_{35} = ۰/۲۸۱ p$
۴	۳	۱۴/۱۲	۰/۰ ۶۳۷	۳/۲۳۹	$p_{45} = ۱ p$
۵	۱	۱۴/۵۲	۰/۰ ۶۵۵	۳/۱۱۶	-
-	-	۲۲۱/۵۵	-	-	-

جدول ۴) مقدار تابع گاما برای نسبت های هورتونی در حوضه آبریز سد اکباتان

RA	RB	RL	a	Ta
۵/۴۳	۴/۱۵	۲/۱۱	۲/۸۵۶۲	۱/۸۷۳۱

جدول ۵- مقادیر سرعت اوج محاسبه شده برای سیل های انتخابی با استفاده از رابطه استدلالی و توانی بر

حسب متر بر ثانیه در حوضه سد اکباتان همدان

سال وقوع سیل	QP(m ³ /s)	$V = (۰/۴۷)^{۰/۵} Q^{۰/۳}$	$V = (۰/۴۷)^{۰/۵} (ALr)^{۰/۳}$	$V = ۰/۶۷ Q^{۰/۳}$
سیل ۱ (۱۳۵۱)	۱۴۵/۳	۳/۰ ۵۳	۳/۵۲۳	۴/۲۲۷
سیل ۲ (۱۳۵۲)	۳۲۵/۸	۳/۸۸۹	۳/۷۴۱	۵/۶۹۹
سیل ۳ (۱۳۵۸)	۱۶۷/۵	۳/۱۹۱	۳/۶۱۴	۴/۴۶۵

سیل ۴ (۱۳۶۰)	۲۶۵/۹	۳/۶۲۲	۳/۸۸۵	۵/۲۲۰
سیل ۵ (۱۳۶۴)	۲۹۴/۴	۳/۷۷۳	۳/۶۱۹	۵/۴۹۰
سیل ۶ (۱۳۶۶)	۲۷۹/۳	۳/۷۱۴	۳/۶۶۵	۵/۳۸۴
سیل ۷ (۱۳۷۲)	۲۹۱/۶	۳/۷۶۲	۳/۸۹۷	۵/۴۷۱
سیل ۸ (۱۳۷۸)	۳۰۱/۲	۳/۷۹۹	۱/۱۸۵	۵/۵۳۶

جدول ۶- مقادیر میانگین خطای نسبی (MRE)، دبی اوج (QP) بر حسب متر مکعب بر ثانیه و زمان اوج (TP) بر حسب ساعت و نیز اختلاف درصد آنها با مقادیر مشاهده‌ای

محل	تاریخ سیل										
	۱	۲	۳	۴	۵	۶	۷	۸	۹	۱۰	۱۱
زنومورفوکلیستاتورژی	Op										
REOp%											
TP											
RETp%											
زنومورفوکلیستاتورژی	Op										
REOp%											
TP											
RETp%											
نام											
روسو	Op										
REOp%											
TP											
RETp%											
SCS	Op										
REOp%											

جدول ۷- مقادیر میانگین توان دوم خطأ (MSE) در مدل های مختلف برای سیل های منتخب در حوضه اکباتان همدان

میانگین توان دوم خطأ	سیل ۸ (۱۳۷۸)	سیل ۷ (۱۳۷۴)	سیل ۶ (۱۳۶۶)	سیل ۵ (۱۳۶۴)	سیل ۴ (۱۳۶۰)	سیل ۳ (۱۳۵۸)	سیل ۲ (۱۳۵۲)	سیل ۱ (۱۳۵۱)	تاریخ سیل مدل
۴۷۵/۵۶	۹۸۳/۴۵	۸۷۷/۹۴	۳۲۹/۷۸	۵۴/۱۲	۱۹۴/۶	۸۲۴/۸۴	۱۳۰/۶۴	۴۰۹/۲۵	ژئومورفو-کلیماتولوژی
۵۳۶/۹۷	۵۰۰/۸۶	۹۴۱/۲۶	۴۱۳/۳۱	۱۶۸/۶۴	۶۱۴/۵۴	۵۲۴/۴۱	۴۷۲/۱۹	۶۶۳/۵۸	ژئومورفو-کلیماتولوژی
۱۵۱۱/۶۵	۱۶۲۱/۵۷	۱۲۲۶/۴۸	۲۴۲۷/۵۳	۱۹۹۷/۴	۲۵۶/۴۸	۵۷۴/۰۸	۷۹۴/۱۱	۸۸۲/۶۸	ناش
۸۲۰/۹۳	۶۰۰/۶۵	۱۰۸۳/۷۷	۲۲۲/۴۵	۱۵۲۶/۵۴	۱۶۴۹/۹۸	۳۴۸/۵۷	۵۹۹/۸۶	۴۳۰/۵۶	روسو
۱۷۲۱/۳۴	۹۴۹/۲۶	۲۵۵۱/۲۶	۳۷۱۷/۳۴	۲۲۹۳/۳۵	۴۹۹/۵۲	۱۲۵۸/۱۲	۱۵۹۰/۴۱	۹۱۱/۴۴	SCS

جدول ۸- کارایی نسبی برآورد کننده اول نسبت به دوم (بر حسب درصد) در برآورد آبنمود سیلاب های حوضه سد اکباتان

برآورد کننده دوم	برآورد کننده اول	ژئومورفو-کلیماتولوژی	ژئومورفو-کلیماتولوژی	ناش	روسو	SCS
ژئومورفو-کلیماتولوژی	۱۰۰	۱۰۹/۱۲	۱۶۸/۵۶	۱۳۷/۹۹	۱۹۵/۲۶	
ژئومورفو-کلیماتولوژی	۹۱/۳۳	۱۰۰	۱۸۶/۴۳	۱۲۱/۷۱	۱۷۸/۲۳	
ناش	۶۱/۳۲	۷۵/۵۶	۱۰۰	۸۲/۲۵	۱۲۲/۲۴	

منابع

- ۱- حشمت پور، ع (۱۳۸۱)، «بررسی کارایی آبنمود واحد لحظه ای ژئومورفولوژیک و ژئومورفوکلیماتیک در حوضه آبخیز کسیلیان»، پایان نامه کارشناسی ارشد، دانشگاه علوم کشاورزی و منابع طبیعی گرگان، دانشکده مرتع و آبخیزداری، ص ۲۵۲.
- ۲- عباسی، ع (۱۳۷۱)، «تهیه و کالیبراسیون مدل کامپیوتری برآورد رواناب در حوضه های آبخیز کوچک»، پایان نامه کارشناسی ارشد، دانشکده فنی مهندسی، دانشگاه صنعتی شریف، ص ۱۸۲.
- ۳- عرفانیان، م (۱۳۷۷)، «بررسی کارایی آبنمود واحد لحظه ای ژئومورفولوژیک و ژئومورفوکلیماتیک در حوضه آبخیز درجزین سمنان»، پایان نامه کارشناسی ارشد، دانشگاه علوم کشاورزی و منابع طبیعی گرگان، دانشکده مرتع و آبخیزداری، ص ۲۰۱.
- ۴- غیاثی، ن (۱۳۷۵)، «واسنجی آبنمود واحد لحظه ای ژئومورفولوژیک و ژئومورفوکلیماتیک در حوضه آبخیز امامه»، پایان نامه کارشناسی ارشد، دانشکده منابع طبیعی دانشگاه تهران، ص ۱۶۲.
- ۵- قهرمان، ب (۱۳۷۴)، «آبنمود واحد لحظه ای ژئومورفوکلیماتیک»، نشریه دانشکده مهندسی، شماره ۱، صص ۵۶-۲۸.
- ۶- مقدم نیا، ع (۱۳۷۱)، «بررسی مقایسه ای زمان تمرکز، زمان تاخیر و زمان رسیدن تا اوج سیلان بر اساس روش های تجربی و تجزیه هیدروگراف در دو منطقه آب و هوایی»، پایان نامه کارشناسی ارشد، دانشگاه تربیت مدرس، دانشکده منابع طبیعی و علوم دریایی نور، ص ۱۹۶.
- 7- Allam, M., (1990), "Case study of evaluation of geomorphologic rainfall-runoff model, in incorporating linear infiltration expression", *Hydrological Processes*, 8: 71-84.
- 8- Diaz-Grandos, M. A., Valders, J. B., and Bras, R. L., (1984), "A physically based flood frequency distribution." *Water Resour. Res.*, 20(7):995-1002.
- 9- Gupta,V. K., Waymir, E. D., d Wang, C. T., (1980), "A representation of the instantaneous unit hydrograph from geomorphology." *Water Resour. Res.*, 16(5): 855 – 862.
- 10- Nash, J. E., (1957), "From the instantaneous unit hydrograph", *Intern General Assembly of Toronto. Compt. Rend.*, ASH Publ., 3(42):114-118.

- 11- Rodriguez-Iturb, I., Deveto, G., valders, S., (1979), "Discharge response analysis and hydrologic similarity , the interrelation between the geomorphologic IUH and storm characteristics." *Water Resour. Res.* , 15(6):1435-1444.
- 12- Rodriguez-Iturb, I., Gonzales-Sanabria, M Cammano, G., (1982), "A rainfall-runoff analysis of the nash model and geomorphoclimatic theory," *Water Resour. Res.*, 18(4):884-903.
- 13- Rosso, R., (1984), "Nash model relation to Horton order ratios," *Water Resour. Res.*, 20(7):914-920.
- 14- Sorman, A. U., (1995), "Estimation of peak discharge using GIUH model in Saudi Arabia". *Water Resour. Res.*, 121(4):243-287.
- 15- Strahler, A. N., (1957), "Quantitative analysis of watershed geomorphology", *Transactions of the American geophysical Union*, 8(6): 913-920.
- 16- Valders, J. B., Fiallo, Y., I., Rodriguez-Iturb, I.,(1979), "A rainfall-runoff analysis of geomorphologic IUH," *Water Resour. Res.*, 15(6):1421-1334.